

**Simulasi Molecular Docking Aktivitas Antiinflamasi Rimpang *Zingiber Officinale* var. amarum pada Mediator Inflamasi Prostaglandin D2 (PGD2) dan Tromboksan A2 (TXA2) pada Osteoarthritis**

Anta Maulana Fardhani, Denis Mery Mirza, Erna Sulistyowati

**Corresponding author:**

Erna Sulistyowati, Fakultas Kedokteran Universitas Islam Malang

Denis Mery Mirza, Fakultas Kedokteran Universitas Islam Malang

Anta Maulana Fardhani, Fakultas Kedokteran Universitas Islam Malang

**Histori Artikel**

Received : 04-04-2024  
Reviewed : 16-04-2024  
Accepted : 28-04-2024  
Published : 06-05-2024

**Kata Kunci:**

molecular docking;  
osteoarthritis; PGD2; TXA2; Z.  
*officinale* var. amarum

**Abstract.** Osteoarthritis (OA) is a degenerative joint disease characterized by damage to joint cartilage, subchondral bone, and osteophyte formation. The prevalence of OA is still large with major therapy is non steroid anti inflammatori (NSAID) drug. However, prolonged use of NSAIDs leads to side effects on gastrointestinal tract. *Zingiber officinale* var. amarum is beneficial herbal for anti-inflammatory therapy in OA. The damage of chondrocytes in OA triggers the activation of inflammatory process through the COX-2 pathway, resulting in the production of chemical mediators prostaglandin D2 (PGD2) and thromboxane A2 (TXA2), causing pain and functional decline. Thus, this research aimed to predict active compounds of *Z. officinale* var. amarum rhizomes that potential to inhibit PGD2 and TXA2 as anti-inflammatory agents for OA through molecular docking. Method This research use 20 active compounds of *Z. officinale* var. amarum using molecular docking method with proteins target including of PGD2 (ID:1S2A) and TXA2 (ID:6IIV). The docking process was conducted using the PyRX 0.8 application, and the results were visualized in the BIOVIA Discovery Studio 2020 application. Result the research on the 20 active compounds in the rhizome of *Z. officinale* var. amarum indicates that compounds such as [6]-Gingerdiol 3,5-diacetate, 10-gingerol, gingerdione, and gingerdiol can interact with the active site of the protein 1S2A through hydrogen bonding with Gln-222. Furthermore, compounds like [6]- dehydrogingerdione, paradol, gingerdiol, geraniol, 10-gingerol, gingerdione, [6]- Gingerdiol 3,5-diacetate, isoborneol, zingerone have been identified to interact with 6IIV through hydrogen bonding with Gln-301 and Thr-81. This indicates that these compounds exhibit activity as inhibitors of PGD2 and TXA2. The interactions occurring between the complex compounds of *Z. officinale* var. amarum and 1S2A and 6IIV can lead to inhibitory effects on PGD2 and TXA2.

**PENDAHULUAN.**Osteoarthritis (OA) merupakan suatu penyakit sendi degeneratif yang ditandai oleh kerusakan kartilago sendi, tulang subkondral, dan pembentukan osteofit (Putri *et al.*, 2022). OA akan menyebabkan penderitanya mengalami penurunan aktivitas fisik dan kualitas hidup (Samosir *et al.*, 2020). Menurut laporan Riskesdas tahun 2018 prevalensi OA banyak dialami oleh pasien geriatri di Indonesia dengan rincian 7,3% dan prevalensi tertinggi pada umur >75 tahun (54,8%) dengan wanita lebih banyak

27,5% dibanding pria 21,8% (Mutmainah & Makmun, 2019).

Tingginya prevalensi akan mengakibatkan faktor resiko pada OA seperti kerusakan sel kondrosit sehingga memicu proses inflamasi melalui jalur asam arakhidonat yang diaktivasi enzim fosfolipase A2 pada membran fosfolipid yang kemudian di metabolisme menjadi jalur COX. Pada jalur COX terbagi 2 isoform yaitu COX-1 dan COX-2. Inflamasi OA pada jalur COX akan menghasilkan peningkatan mediator inflamasi Prostaglandin seperti PGE2, PGF2a, PGD2, dan TXA2. Oleh karena itu perlu

## Jurnal Kesehatan Islam

adanya inhibitor COX-2 untuk menekan inflamasi pada OA (Chen *et al.*, 2018).

Terapi antiinflamasi utama pada OA bertujuan untuk mengurangi rasa nyeri dan bengak (Pratiwi, 2015). Penggunaan OAINS merupakan obat antiinflamasi pada OA yang cukup poten. Namun, cara kerja mekanisme kerja OAINS melibatkan penghambatan enzim COX-1 dan COX-2. Sehingga pada COX-1 yang memiliki peran dalam fisiologis gastrointestinal dan ginjal akan menyebabkan efek samping seperti gangguan gastrointestinal dan ginjal (Eka Putri Srikandi Adiansyah & Ariyani, 2021). Oleh karena itu perlu adanya terapi komplementer inhibitor COX-2 seperti tanaman herbal yang berkhasiat dengan tujuan mengurangi efek samping dari penggunaan obat (Ifmaily *et al.*, 2021).

Salah satu tanaman herbal berkhasiat terutama sebagai pengobatan adalah rimpang *Zingiber officinale* var. amarum (Sandy & Susilawati Yasmiwari, 2021). Berdasarkan hasil penelitian, rimpang *Z. officinale* var. amarum mengandung minyak atsiri yang memiliki senyawa aktif seperti gingerol, shogaol, dan zingeron. Senyawa tersebut memiliki potensi sebagai antiinflamasi. Studi hasil penelitian yang dilakukan oleh Dugansani menunjukkan bahwa diantara jenis-jenis gingerol, 10-gingerol dari *Z. officinale* var. amarum memiliki efek antiinflamasi yang paling kuat (Dugansani *et al.*, 2010). Khususnya *Z. officinale* var. amarum memiliki kandungan 10-gingerol dengan intensitas yang lebih besar dibandingkan dengan *Z. officinale* var. rubrum sebagai antiinflamasi (Tanaka *et al.*, 2015).

Pada penelitian ini, mediator inflamasi PGD2 adalah agen aktif dalam resolusi peradangan yang diinduksi secara eksperimental. Penelitian ini dilakukan untuk menentukan keberadaan PGD2 pada efusi sendi kronis pada pasien arthritis untuk kita uji dengan senyawa aktif (Moghaddami *et al.*, 2013). Selain PGD2, TXA2 pada penelitian ini berikatan dengan reseptor TXA2 untuk menginduksi perubahan agregasi platelet dan berikatan dengan reseptor di pembuluh darah untuk menginduksi vasokonstriksi. Lalu kita uji dengan senyawa aktif (Nakahata, 2008).

Berdasarkan penjelasan tersebut, penelitian ini

bertujuan untuk mengidentifikasi senyawa aktif dalam rimpang *Z. officinale* var. amarum sebagai agen antiinflamasi melalui studi *in silico* menggunakan metode *molecular docking* untuk mengetahui senyawa aktif yang diprediksi memiliki aktivitas yang dapat menghambat PGD2 dan TXA2.

## METODE PELAKSANAAN

### Preparasi Bahan

Proses dimulai dengan preparasi data senyawa aktif uji rimpang *Zingiber officinale* var. amarum melalui laman

<https://pubchem.ncbi.nlm.nih.gov/>. Sementara itu, protein target PGD2 (PDB ID

: 1S2A) dan TXA2 (PDB ID: 6IIV) yang diunduh dari laman <https://www.rcsb.org/> (Mirza *et al.*, 2021).

Berikutnya pemisahan protein menggunakan aplikasi BIOVIA Discovery Studio 2020 dengan cara memisahkan protein target dari ligan internal dan molekul air. Hal ini dilakukan untuk memperoleh protein murni dan ligan internal yang akan digunakan sebagai kontrol negatif dalam penelitian ini. Setelah itu, dilakukan validasi internal melalui *re-docking* menggunakan aplikasi PyRx 0.8 (Mirza *et al.*, 2021).

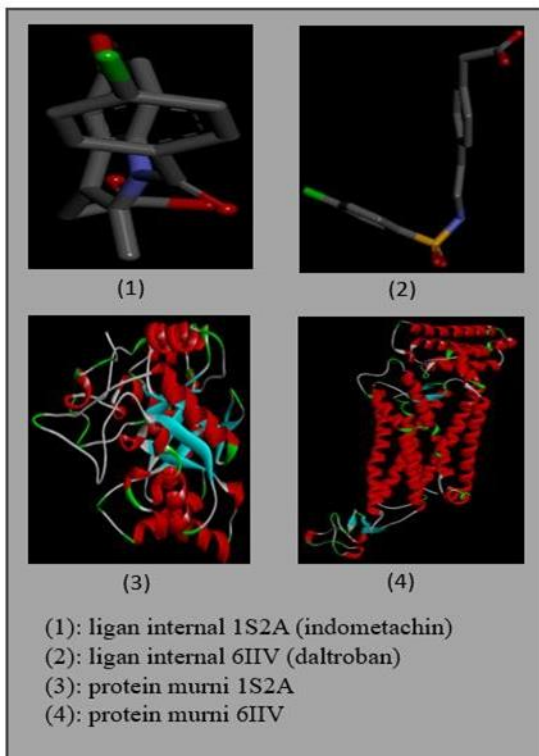
### Simulasi Molecular Docking

Proses *docking* dalam penelitian ini dilakukan dengan aplikasi PyRx 0.8 yang telah diintegrasikan dalam Autodock Vina. Tahap awal melibatkan penambahan ligan uji dan protein target, diikuti dengan penyesuaian *gridbox* secara manual untuk memaksimalkan ligan internal. Hasil dari proses ini berupa kompleks ligan-reseptor, yang selanjutnya divisualisasikan menggunakan aplikasi BIOVIA Discovery studio 2020 untuk menganalisis residu asam amino. Analisis tersebut kemudian dibandingkan dengan hasil penambatan dari validasi internal yang digunakan sebagai kontrol negatif dalam penelitian ini (Mirza *et al.*, 2021).

### Uji Sifat Fisikokimia

Senyawa yang menunjukkan kesamaan dalam ikatan asam amino diprediksi akan memiliki aktivitas yang sama dengan kontrol pembandingnya. Lalu analisis senyawa terpilih untuk sifat fisikokimianya melalui laman <http://www.swissadme.ch/> 13.

## HASIL PENELITIAN



### Simulasi Molecular Docking

Setelah melalui tahap preparasi seperti hasil pada (Gambar 1), protein 1S2A berhasil memperoleh dalam bentuk protein murni dengan ligan internalnya, yakni lindometasin. Protein 6IIV menghasilkan protein murni dengan ligan internalnya berupa dalltroban. Lalu, kedua protein tersebut dilakukan validasi internal untuk menilai kelayakan dengan *molecular docking*. Hasil validasi pada 1S2A menunjukkan nilai RMSD sebesar 0,65 Å, Sementara protein 6IIV diperoleh nilai RMSD sebesar 1,35 Å (Fan *et al.*, 2019), (Lovering *et al.*, 2004). Hal ini mengindikasi bahwa protein 1S2A dan 6IIV dapat dianggap valid memenuhi syarat untuk proses docking, karena kriteria validasi internal adalah apabila nilai RMSD kurang dari atau sama dengan 3 Å (Trott & Olson, 2010).

**Tabel 1.**

#### Hasil Validasi Internal

Protein	Low Bound	Up Bound	Rata-Rata
<b>1S2A</b>	<b>0,59</b>	<b>0,70</b>	<b>0,65</b>
<b>6IIV</b>	<b>1,77</b>	<b>0,94</b>	<b>1,35</b>

Hasil penambatan senyawa aktif rimpang Z. officinale var. amarum dari protein 1S2A dan 6IIV melalui proses *docking* menggunakan PyRX 0.8 akan divisualisasikan dengan aplikasi BIOVIA discovery studio 2020 (Mirza *et al.*, 2021). Hasil visualisasi dianalisis melalui interaksi ikatan residu asam amino ligan uji dengan kontrol pembanding. Untuk mengidentifikasi senyawa yang di prediksi memiliki aktivitas serupa dengan kontrol pembandingnya (Susanti *et al.*, 2019) (Tabel 2 dan 3).

Berdasarkan hasil docking 1S2A diidentifikasi empat senyawa aktif terpilih dengan kemampuan ikatan hidrogen asam amino (Gln-222) yang sama terhadap indometasin, Kesamaan ikatan hidrogen asam amino dengan indometasin dengan presentase [6]-*Gingerdiol 3,5-diacetate* 60%, *gingerdione* 30%, [10]-*gingerol* 50%, *Gingerdiol* 20%. Jika ditinjau berdasarkan daya ikat ligan dengan reseptor pada nilai *binding affinity* indometasin sebagai kontrol masih memiliki nilai rendah yaitu -9,8.

Sementara itu, hasil pada 6IIV diidentifikasi menghasilkan sembilan senyawa aktif dengan kesamaan ikatan hidrogen asam amino (Gln-301 dan Thr-81) dengan daltroban. Kesamaan presentase tersebut pada [6]-*Dehydrogingerdione* 35,7%, *gingerdione* 35,7%, [6]-*paradol* 35,7%, *gingerdiol* 35,7%, [6]-*Shogaol* 28,5%, *Zingerone* 28,5%, *Geraniol* 35,7%, [6]-*Gingerdiol 3,5-diacetate* 42,8%, [10]-*Gingerol* 42,8%. Ditinjau dari nilai *binding affinity*, daltroban masih memiliki nilai paling rendah yaitu sebesar -8,1.

Ligan uji	Binding affinity	Ikatan Amino	Residu Asam	Kesamaan Residu Asam Amino (%)
Indometasin (Kontrol pembanding)	-9,8	Hydrogen: GLN-222 Carbon Hydrogen: SER-217 Pi-sigma: TYR-24 Pi-Pi T-Shaped: HIS-117, TRP-86, TRP-227, PHE-306 Alky: LEU-54, PHE-311, MET-120		100
[6]- <i>Dehydroshogaol</i>	-7,4	Hydrogen: SER-217, ASN-167 Pi-sigma: TYR-24 Pi-Pi T-Shaped: TRP-227 Alky: MET-120, PHE-306		30
[6]- <i>Dehydrogingerdione</i>	-7,1	Hydrogen: SER-217 Carbon Hydrogen: SER-221 Pi-sigma: TYR-24 Pi-Pi T-Shaped: PHE-306 Alky: TYR-55		20
[6]- <i>Gingerdiol 3,5-diacetate</i>	-7,0	Hydrogen: GLN-222, HIS-117 Pi-sigma: TYR-24, TRP-227 Alky: LEU-54, PHE-311, MET-120, PHE-306, TRP-86, TYR-55		60
[6]- <i>shogaol</i>	-6,9	Hydrogen: SER-217 Carbon Hydrogen: SER-221 Pi-sigma: PHE-306 Pi-Pi T-Shaped: TYR-216 Alky: PHE-311, TRP-86, TYR-24		20
[6]- <i>paradol</i>	-6,7	Hydrogen: SER-217, ASN-167 Carbon Hydrogen: SER-221		30

<i>Sesqui phella ndrene</i>	-6,7	Pi-sigma: <b>TYR-24</b> Pi-Pi T-Shaped: <b>PHE-306, TRP-227</b> Alkyl: TYR-55	<i>ogao</i>	Alkyl: <b>ALA-297, TRP-258, VAL-85, TRP-182, LEU-294, MET-112</b>
<i>gingerd ione</i>	-6,6	Alkyl: <b>TRP-227, TYR-24, HIS-117</b>  Hydrogen: <b>GLN-222</b> 30 Van der Waals: TYR-216 Pi-sigma: <b>TYR-24</b> Pi-Pi T-Shaped: <b>PHE-306</b> Alkyl: <b>TRP-227, TYR-55</b>	<i>ging erdi on e</i>	Hydrogen: <b>GLN-301</b> 35,7 Carbon Hydrogen: <b>THR-298</b> Alkyl: <b>ALA-297, TRP-258, VAL-85, LEU-294, MET-112</b>  Hydrogen: <b>GLN-301</b> 35,7 Carbon Hydrogen: <b>THR-298</b> Alkyl: <b>ALA-297, TRP-258, VAL-85, TRP-182, LEU-294, MET-112</b>
<i>Alpha- Zingibe rene</i>	-6,6	Pi-sigma: <b>TYR-24, PHE-306</b> Alkyl: <b>TYR-55, HIS-117</b>	<i>[6]- parado</i>	Hydrogen: <b>GLN-301</b> 35,7 Carbon Hydrogen: <b>THR-298</b> Alkyl: <b>ALA-297, TRP-258, VAL-85, TRP-182, LEU-294, MET-112</b>
<i>Farnes ol</i>	-6,5	Hydrogen: <b>SER-217</b> 30 Alkyl: <b>PHE-306, TYR-216, TRP-227, PHE-311, MET-120, TRP-86</b>	<i>ginge rdiol</i>	Hydrogen: <b>GLN-301</b> 35,7 THR-81, THR-298 Carbon Hydrogen: <b>THR-298</b> Alkyl: <b>TRP-182, TRP-258, VAL-85, LEU-294, MET-112</b>
<i>[10]- gingero l</i>	-6,3	Hydrogen: <b>GLN-222</b> 50 Alkyl: <b>PHE-311, LEU-54, MET-120, PHE-306, TRP-227, TRP-86</b>	<i>[6]- Shog aol</i>	Carbon Hydrogen: <b>THR-28,5</b> Alkyl: <b>ALA-297, TRP-258, VAL-85, TRP-182, LEU-294, MET-112</b>
<i>Zingero ne</i>	-6,1	Hydrogen: <b>SER-217, ASN-10167, TYR-216</b> Carbon Hydrogen: <b>SER-221</b> Pi-sigma: <b>PHE-306</b> Pi-Pi T-Shaped: <b>TRP-227</b>	<i>Farne sol</i>	Carbon Hydrogen: <b>PHE-7,14</b> Alkyl: <b>VAL-85, LEU-78, ARG-295, LEU-294</b> Unfavorable Acceptor: <b>MET-112</b>
<i>Alpha- terpine ol</i>	-6,0	Hydrogen: <b>ASN-167</b> 0 Alkyl: <b>PHE-306, TRP-227</b>	<i>Alpha -terpin eol</i>	Alkyl: <b>ALA-297, TRP-258, PHE-184, LEU-294, MET-112</b> Unfavorable Acceptor: <b>GLN-301</b>
<i>Ginger diol</i>	-5,9	Hydrogen: <b>GLN-222</b> 20 Alkyl: <b>LEU-54, HIS-117, TRP-227</b>	<i>Zinge rone</i>	Hydrogen: <b>THR-81, PHE-28,5</b> 115 Carbon Hydrogen: <b>THR-298</b> Pi-sigma: <b>MET-112</b> Pi-Pi T-Shaped: <b>ALA-297</b>
<i>Camph erene</i>	-5,9	Alkyl: <b>HIS-117, TRP-227</b> 0 Van der Waals: <b>PHE-306</b>		
<i>1,8- cineole</i>	-5,7	Pi-sigma: <b>TRP-227</b> 0 Alkyl: <b>TYR-216</b>		
<i>Eugen ol</i>	-5,6	Hydrogen: <b>HIS-117, ASN-10167, TYR-216</b> Pi-sigma: <b>PHE-306</b> Pi-Pi T-Shaped: <b>TRP-227</b>		
<i>Isobor neol</i>	-5,6	Pi-sigma: <b>PHE-306</b> Alkyl: <b>TRP-227, TYR-24</b> 0 Van der Waals: <b>SER-217</b>		
<i>Perille ne</i>	-5,4	Pi-sigma: <b>TRP-227</b> 10 Pi-Pi T-Shaped: <b>PHE-306, PHE-311</b> Alkyl: <b>TYR-216, PHE-306</b>		
<i>Myrc ne</i>	-5,0	Alkyl: <b>TRP-227, PHE-306, TYR-55, TYR-24</b>		
Tabel 3. Hasil molecular docking 6IV				
Ligan uji	Binding affinity	Ikatan Amino	Residu Asam	Percentase Kesamaan Residu Asam Amino (%)
Daltr oba n (Kon trol pem ban din g)	-8,1	Hydrogen: <b>GLN-301, THR-81, SER-181</b> Carbon Hydrogen: <b>THR-298</b> Pi-sigma: <b>VAL-85, LEU-294, MET-112</b> Pi-Pi T-Shaped: <b>TRP-182</b> Attractive charge: <b>ARG-295</b> Unfavorable Acceptor: <b>HIS-89</b> Alkyl: <b>PHE-184, TRP-258, ALA-297, PHE-200</b>		
Alpha -Zing ibera n	-7,5	Alkyl: <b>PHE-184, ALA-297, TRP-258, MET-112, LEU-294, TRP-182, VAL-85</b>		
Sesq uiphel landr ene	-7,2	Alkyl: <b>PHE-184, TRP-258, ALA-297, MET-112, LEU-294, LEU-78, VAL-85</b>		
<i>[6]- Dehy drogi n gerdi one</i>	-6,8	Hydrogen: <b>GLN-301</b> 35,7 Carbon Hydrogen: <b>THR-298</b> Alkyl: <b>ALA-297, TRP-258, MET-112, LEU-294, VAL-85, MET-108, TRP-182</b>		
<i>[6]- Dehy drosh</i>	-6,8	Carbon Hydrogen: <b>THR-298</b>		

### **Analisa Sifat Fisikokimia Senyawa Uji Terpilih**

Analisa sifat fisikokimia pada senyawa aktif terpilih rimpang *Z. officinale* var. amarum menggunakan laman SwissADME yang berpacu pada hukum lima lipinski (James *et al.*, 2023). Untuk menilai sejauh mana kesamaan sifat suatu senyawa dengan obat, penelitian ini menggunakan prinsip hukum lima lipinski. Hukum ini telah dijadikan sebagai tolak ukur standar untuk menentukan kelayakan suatu senyawa sebagai obat yang dapat diambil secara oral (Lipinski *et al.*, 2001). Semua senyawa yang dipilih dalam penelitian ini memenuhi parameter “rule of five” Lipinski, termasuk berat molekul <500 g/mol, nilai Log P<5, jumlah donor ikatan hidrogen <5, jumlah akseptor ikatan hidrogen <10<sup>18</sup> (Tabel 4). Penelitian ini menunjukkan bahwa semua senyawa terpilih kriteria hukum lima lipinski tersebut. Dengan demikian, dapat disimpulkan bahwa senyawa terpilih tersebut telah memenuhi standar kelayakan sebagai obat yang dapat diambil secara oral (Lipinski *et al.*, 2001).

Tabel 4.  
Analisa sifat fisikokimia

Senyawa	Berat molekul (g/mol)	Log P	H-bond donors	H-bond acceptor
[6]-Gingerdiol 3,5-diacetate	380,48	3,67	1	6
gingerdione	292,37	3,14	1	4
[10]-gingerol	350,49	4,25	2	4
Gingerdiol	296,40	3,39	3	4
[6]-Dehydrogingerdione	290,35	2,70	1	4
[6]-paradol	278,39	3,65	1	3
[6]-Shogaol	276,37	3,28	1	3
Zingerone	194,23	2,09	1	3
Geraniol	154,25	2,75	1	1

### **PEMBAHASAN**

#### **Hasil Simulasi Molecular Docking Senyawa Aktif Rimpang *Z. officinale* var. amarum Terhadap 1S2A**

Hasil pengamatan dari simulasi molecular docking antara senyawa aktif dari rimpang *Z. officinale* var. amarum dengan protein 1S2A menunjukkan bahwa dari 20 senyawa uji tersebut, empat diantaranya memiliki kesamaan ikatan hidrogen asam amino terhadap kontrol. Kesamaan asam amino pada kompleks ligan-reseptör mencerminkan kemiripan aktivitas, dimana presentase yang lebih tinggi mengindikasi aktivitas yang lebih mirip. Kesembilan senyawa tersebut yaitu, [6]-Dehydrogingerdione 35,7%, gingerdione 35,7%, [6]-paradol 35,7%, gingerdiol 35,7%, [6]-Shogaol 28,5%, Zingerone 28,5%, Geraniol

lebih tinggi mengindikasi aktivitas yang lebih mirip (Nursamsiar *et al.*, 2020). Keempat senyawa tersebut yaitu, [6]-Gingerdiol 3,5-diacetate, gingerdione, [10]-gingerol, Gingerdiol diprediksi memiliki kemiripan aktivitas dengan indometasin namun tidak lebih poten karena senyawa tersebut hanya memiliki presentase kesamaan residu asam amino 20% sampai 60%. Dan memiliki interaksi dengan ikatan hidrogen Gln-22220(Tabel 2).

Hasil penelitian ini mendapatkan senyawa [6]-Gingerdiol 3,5-diacetate merupakan senyawa yang diprediksi memiliki kemiripan aktivitas terhadap indometasin paling baik dibanding semua senyawa uji dengan presentase 60%. Didukung dengan nilai binding affinity senyawa [6]-Gingerdiol 3,5-diacetate memiliki nilai yang rendah sebesar -7,0. Namun, indometasin tetap memiliki binding affinity terendah yakni -9,8. Oleh karena itu [6]-Gingerdiol 3,5-diacetate diprediksi memiliki daya ikat yang lebih stabil dibanding senyawa lainnya, karena nilai binding affinity semakin rendah nilainya maka daya ikat senyawa semakin stabil (Mirza *et al.*, 2021).

#### **Hasil Molecular Docking Senyawa Aktif Rimpang *Z. officinale* var. amarum Terhadap 6IIV**

Hasil pengamatan dari simulasi molecular docking antara senyawa aktif dari rimpang *Z. officinale* var. amarum dengan protein 6IIV menunjukkan bahwa dari

20 senyawa uji tersebut, sembilan diantaranya memiliki kesamaan ikatan hidrogen asam amino terhadap kontrol. Kesamaan asam amino pada kompleks ligan-reseptör mencerminkan kemiripan aktivitas, dimana presentase yang lebih tinggi mengindikasi aktivitas yang lebih mirip. Kesembilan senyawa tersebut yaitu, [6]-Dehydrogingerdione 35,7%, gingerdione 35,7%, [6]-paradol 35,7%, gingerdiol 35,7%, [6]-Shogaol 28,5%, Zingerone 28,5%, Geraniol

35,7%, [6]-Gingerdiol 3,5-diacetate 42,8%, [10]-Gingerol 42,8%. diprediksi memiliki kemiripan aktivitas dengan daltroban namun tidak lebih poten karena senyawa tersebut hanya memiliki presentase kesamaan residu asam amino 28,5% sampai 42,8%. Dan memiliki interaksi dengan ikatan hidrogen Gln-301 dan Thr-8121 (Tabel 3). Hasil molecular docking pada protein 6IIV mendapatkan senyawa [6]-Dehydrogingerdione merupakan senyawa yang diprediksi memiliki daya ikat aktivitas terhadap daltroban paling stabil dengan presentase 35,7%. Didukung dengan nilai binding affinity senyawa [6]-

## Jurnal Kesehatan Islam

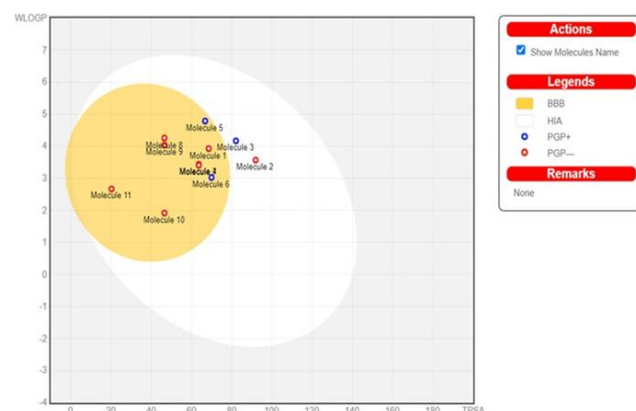
Dehydrogingerdione memiliki nilai sebesar -6,8. Namun, belum teridentifikasi senyawa yang memiliki daya ikat lebih dari daltroban, yang memiliki binding affinity terendah yakni -8,1. Binding affinity merupakan nilai kemampuan ikatan ligan dengan reseptornya. semakin rendah nilainya maka daya ikat ligan- reseptor semakin stabil (Mirza *et al.*, 2021).

### Analisis Sifat Fisikokimia

Berdasarkan analisis sifat fisikokimia menggunakan hukum lima Lipinski, senyawa yang terpilih telah memenuhi standar parameter untuk obat oral. Parameter berat molekul kurang dari 500 g/mol menunjukkan kemampuan senyawa tersebut untuk menembus saluran gastrointestinal (Mirza *et al.*, 2021).

Selanjutnya, nilai log P menggambarkan kemampuan senyawa menembus lipid bilayer, di mana nilai yang terlalu negatif dapat menghambat kemampuan molekul tersebut menembus lipid bilayer. Jumlah donor dan akseptor ikatan hidrogen juga menjadi indikator kapasitas ikatan hidrogen, yang berperan dalam energi yang dibutuhkan dalam proses absorpsi. Jika terdapat terlalu banyak akseptor ikatan hidrogen, hal tersebut dapat menghambat permeabilitas senyawa dalam menembus membran bilayer (Honorio *et al.*, 2013).

Pada diagram boiled-egg menunjukkan bahwa semua molekul berada dalam lingkaran putih, menandakan bahwa senyawa tersebut memiliki kemampuan untuk menembus saluran gastrointestinal. Selain molekul 2,3 dapat menembus Blood Barrier Brain (BBB), sementara molekul 2,3 tidak dapat menembus BBB, menunjukkan bahwa senyawa gingerdione, [10]-gingerol, Gingerdiol, [6]-Dehidrogingerdione, [6]-paradol, [6]-Shogaol, Zingerone, Geraniol memiliki kualitas yang lebih baik digunakan sebagai penghambat TXA2 dibandingkan dengan daltroban (Moda *et al.*, 2012). Diagram juga menggambarkan bahwa senyawa gingerdione dan [6]-Dehidrogingerdione terletak disekitar indometasin. Hal ini menandakan bahwa kedua senyawa tersebut memiliki potensi yang baik dan dapat menjadi alternatif yang sebanding dengan indometasin, seperti yang terlihat dalam (Gambar 2).



**Gambar 2. Diagram boiled-egg sifat fisikokimia.**

**Keterangan :** Molecule 1 (Indometasin), Molecule 2 (Daltroban), Molecule 3 ([6]-Gingerdiol 3,5-diacetate), Molecule 4 (gingerdione), Molecule 5 ([10]-gingerol), Molecule 6 (gingerdiol), Molecule 7 ([6]-Dehydrogingerdione), Molecule 8 ([6]-paradol), Molecule 9 ([6]-Shogaol), Molecule 10 (zingerone), Molecule 11 (geraniol).

### Potensi Rimpang *Zingiber officinale* var. amarum Terhadap Penghambatan PGD2 dan TXA2 Pada Osteoarthritis

Berdasarkan hasil dari docking, senyawa seperti [6]-Gingerdiol 3,5- diacetate, gingerdione, [10]-gingerol, Gingerdiol yang terdapat dalam rimpang *Zingiber officinale* var. amarum menunjukkan kemampuan untuk

berinteraksi dengan sisi aktif 1S2A. Hal ini mengindikasikan bahwa senyawa- senyawa tersebut diprediksi memiliki potensi untuk menghambat aktivitas PGD2.

Terbentuk dari asam arakhidonat melalui jalur eikosanoid COX menjadi PGH2 dan di proses menjadi prostanoid. Prostanoid yang dihasilkan dari COX- 2 berperan dalam inflamasi yaitu, Prostaglandin E2 (PGE2), Prostaglandin D2 (PGD2), Prostaglandin F2a (PGF2a), Prostasiklin (PGI2), Tromboksan A2 (TXA2). Berbeda dengan COX-1 yang memiliki fungsi proteksi terhadap sistem pencernaan. Sehingga penghambatan selektif COX-2 dapat menurunkan PGD2 yang meredakan rasa nyeri dan Bengkak pada OA(Kumar *et al.*, 2021).

Sedangkan senyawa seperti [6]-Dehydrogingerdione, gingerdione, [6]- paradol, gingerdiol, [6]-Shogaol, Zingerone, Geraniol, [6]-Gingerdiol 3,5- diacetate, [10]-Gingerol telah teridentifikasi sebagai senyawa yang mampu berinteraksi dengan sisi aktif 6IIV. Hal ini

menunjukkan bahwa sembilan senyawa tersebut memiliki aktivitas yang dapat menghambat TXA2. Sehingga pada pelepasan asam arakhidonat akan menghambat TXA2 pada jalur COX-2 sehingga menyebabkan penurunan pada mediator TXA2. Oleh karena itu, penghambatan TXA2 pada jalur COX-2 dapat dijadikan sebagai terapi untuk mengurangi rasa nyeri dan kerusakan yang disebabkan oleh inflamasi (Nakahata, 2008).

## KESIMPULAN

Hasil dari *molecular docking* menunjukkan bahwa senyawa [6]-Gingerdiol 3,5-diacetate, gingerdione, [10]-gingerol, Gingerdiol yang terkandung pada rimpang Z. officinale var. amarum dapat berinteraksi terhadap sisi aktif protein 1S2A dan 6IIV sehingga diprediksi dapat menghambat jalur PGD2 dan TXA2. **SARAN**

Berdasarkan penelitian ini penulis menyarankan bahwa perlu dilakukan penelitian lebih lanjut secara *in vivo* dan *in vitro* mengenai potensi senyawa aktif rimpang Z. officinale var. amarum sebagai antiinflamasi baru pada OA.

## REFERENSI

- Chen, L., Deng, H., Cui, H., Fang, J., Zuo, Z., Deng, J., Li, Y., Wang, X., & Zhao, L. (2018). Inflammatory Responses and Inflammation Associated Diseases in Organs. *Oncotarget*, 9(6), 7204–7218. [www.impactjournals.com/oncotarget/](http://www.impactjournals.com/oncotarget/)
- Dugasani, S., Pichika, M. R., Nadarajah, V. D., Balijepalli, M. K., Tandra, S., & Korlakunta, J. N. (2010). Comparative Antioxidant and Anti-Inflammatory Effects of [6]-gingerol, [8]-gingerol, [10]-gingerol and [6]-shogaol. *Journal of Ethnopharmacology*, 127(2), 515–520.
- Eka Putri Srikantri Adiansyah, E., & Ariyani, H. (2021). Studi Literatur Efek Penggunaan Non-Steroidal Anti Inflammatory Drugs (NSAID) pada Sistem Gastrointestinal. *Journal of Current Pharmaceutical Sciences*, 5(1), 2598–2095.
- Fan, H., Chen, S., Yuan, X., Han, S., Zhang, H., Xia, W., Xu, Y., Zhao, Q., & Wu, B. (2019). Structural Basis for Ligand Recognition of The Human Thromboxane A2 Receptor. *Nature Chemical Biology*, 15(1), 27–33.
- Honorio, K. M., Moda, T. L., & Andricopulo, A. D. (2013). Pharmacokinetic Properties and In Silico ADME Modeling in Drug Discovery. *Medicinal Chemistry*, 9(2), 163–176.
- Ifmailly, Islamiyah, S. B., & Fitriani, P. R. (2021). Efek Gel Daun Temu Putih (Curcuma zedoaria (Christm.) Roscoe) Sebagai Antiinflamasi dengan Metoda Induksi Karagen dan Kantong Granuloma pada Mencit Putih Jantan. *Jurnal Inovasi Penelitian*, 1(10).
- James, J. P., Ail, P. D., Crasta, L., Kamath, R. S., Shura, M. H., & T.J, S. (2023). In Silico ADMET and Molecular Interaction Profiles of Phytochemicals from Medicinal Plants in Dakshina Kannada. *Journal of Health and Allied Sciences NU*.
- Kumar, V., Abbas, A. K., Aster, J. C., & Perkins, J. A. (2021). *Robbins & Cotran Pathologic Basis of Disease* (10th ed.). Elvesier.
- Lipinski, C. A., Lombardo, F., Dominy, B. W., & Feeney, P. J. (2001). Experimental and Computational Approaches to Estimate Solubility and Permeability in Drug Discovery and Development Settings. *Advanced Drug Delivery Reviews*, 46, 3–26. [www.elsevier.com/locate/drugdeliv](http://www.elsevier.com/locate/drugdeliv)
- Lovering, A. L., Ride, J. P., Bunce, C. M., Desmond, J. C., Cummings, S. M., & White, S. A. (2004). Crystal Structures of Prostaglandin D 2 11-Ketoreductase (AKR1C3) in Complex with the Nonsteroidal Anti-Inflammatory Drugs Flufenamic Acid and Indomethacin. *CANCER RESEARCH*, 64, 1802–1810.
- Mirza, D. M., Ma'arif, B., Purbosari, I., Hardjono, S., & Agil, M. (2021). Prediksi Aktivitas Fitoestrogenik Senyawa Golongan Flavonoid terhadap Receptor Estrogen  $\alpha$  (ER-  $\alpha$ ) dengan pendekatan In Silico. *Jurnal Sains Dan Kesehatan*, 3(4), 512–519.
- Moda, T. L., Carrara, A. E., & Andricopulo, A. D. (2012). A Fragment-Based Approach for the In Silico Prediction of Blood-Brain Barrier Permeation. *Journal of the Brazilian Chemical Society*, 23(12), 2191–2196.
- Moghaddami, M., Ranieri, E., James, M., Fletcher, J., & Cleland, L. G. (2013). Prostaglandin D2 in Inflammatory Arthritis and Its Relation with Synovial Fluid Dendritic Cells. *Mediators of Inflammation*, 2013.
- Mutmainah, S., & Makmun, A. (2019). Manajemen Pasien Osteoarthritis Secara Holistik, Komprehensif Dengan Menggunakan Pendekatan Kedokteran Keluarga Di Puskesmas Sudiang Raya Makassar. *UMI Medical Journal*, 4(1).

Jurnal Kesehatan Islam

Nakahata, N. (2008). Thromboxane A2: Physiology/Pathophysiology, Cellular Signal Transduction and Pharmacology. *Pharmacology and Therapeutics*, 118(1), 18–35.

Nursamsiar, Mangande, M. M., Awaluddin, A., Nur, S., & Asnawi, A. (2020). In Silico Study of Aglycon Curculigoside A and Its Derivatives as  $\alpha$ -Amilase Inhibitors. *Indonesian Journal of Science and Technology Journal*, 1, 29–

37. <http://jurnal.unpad.ac.id/ijpst/UNPAD>

Pratiwi, A. I. (2015). Diagnosis and Treatment Osteoarthritis. *J MAJORITY*, 4(10).

Putri, R. A., Ilmiawan, M. I., & Darmawan. (2022). Faktor-Faktor yang Berhubungan dengan Kejadian Osteoarthritis Lutut pada Petani di Desa Bhakti Mulya Kecamatan Bengkayang. *Jurnal Kedokteran Dan Kesehatan*, 18. <https://jurnal.umj.ac.id/index.php/JKK>

Samosir, R. K., Theodorus, E., Cinthya, D., Valentina, D., & Agverianti, T. (2020). Potensi Aktivitas Supresi Respon Imun Sinovial sebagai JNK Pathway Inhibitor dalam Tatalaksana Osteoarthritis. *JIMKI*, 8(2).

Sandy, P. M., & Susilawati Yasmiwar. (2021). Review Artikel: Manfaat Empiris dan Aktivitas Farmakologi Jahe Merah (*Zingiber officinale Roscoe*), Kunyit (*Curcuma domestica Val.*) dan Kencur (*Kaempferia galanga L.*). *Farmaka*, 19(2), 36–46.

Susanti, N. M. P., Laksmiani, N. P. L., Noviyanti, N. K. M., Arianti, K. M., & Duantara, I. K. (2019). Molecular Docking Terpinen-4-ol sebagai Antiinflamasi pada Aterosklerosis secara In Silico. *Jurnal Kimia (Journal of Chemistry)*, 221.

Tanaka, K., Arita, M., Sakurai, H., Ono, N., & Tezuka, Y. (2015). Analysis of Chemical Properties of Edible and Medicinal Ginger by Metabolomics Approach. *BioMed Research International*, 2015.

Trott, O., & Olson, A. J. (2010). AutoDock Vina: Improving the Speed and Accuracy of Docking with a New Scoring Function, Efficient Optimization, and Multithreading. *Journal of Computational Chemistry*, 31(2), 455–461.